

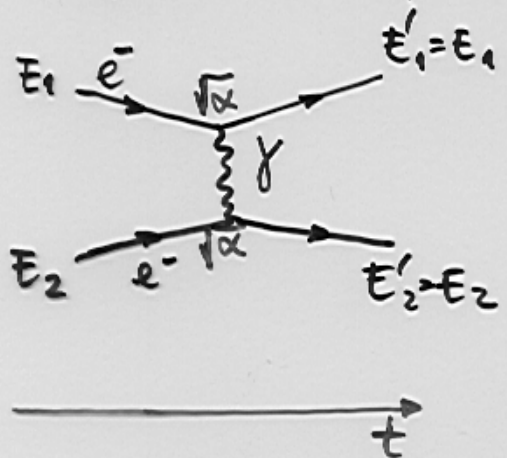
INTERACÇÕES

TEORIA QUÂNTICA DO CAMPO:

As partículas interagem através da troca de quanta do campo

Interacções elétrô - elétrô :

Diagrama de Feynman



- A interacção ocorre por troca de um fotão virtual
 - Os vértices são ponderados por um factor $\sqrt{\alpha}$
- $$\alpha = \frac{1}{4\pi\varepsilon_0} \frac{e^2}{\hbar c} \approx \frac{1}{137}$$

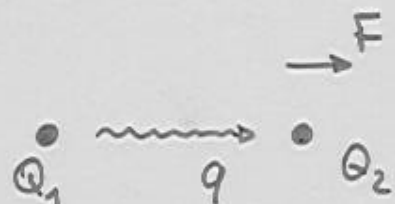
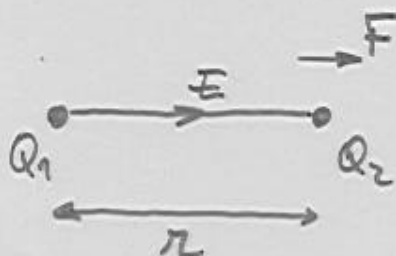
- O valor de α determina a intensidade da interacção
- Há violação da conservação de energia durante o intervalo Δt entre a emissão e a absorção do fotão
⇒ processo virtual não observável permitido pelo princípio de incerteza
 $\Delta t \Delta E \geq \hbar$

$$\Delta E = \hbar \omega \text{ (energia do fotão virtual)} \Rightarrow \Delta t \leq 1/\omega$$

Donde o alcance da interacção $R = c \Delta t \leq \frac{c}{\omega}$ infinito $\omega \rightarrow 0$

As descrições clássica e quântica são equivalentes à escala macroscópica:

Ex: Força entre duas cargas:



Campo $E(r)$

Troca de fôtons virtuais
de momento q

$$F = E(r) Q_2 =$$

$$= Q_1 Q_2 / r^2$$

$$\text{Princípio incerto} \Rightarrow q r \approx \hbar$$

$$\text{Tempo de transferência} \\ \text{de impulso} \rightarrow t = r/c$$

$$\text{Força } F = dq/dt = \hbar c / r^2$$

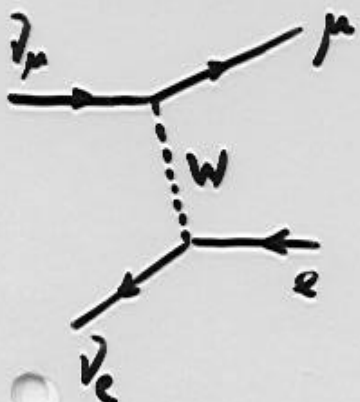
$$N^{\circ} \text{ de fôtons} \propto Q_1 \cdot Q_2$$

$$F = Q_1 Q_2 / r^2$$

Troca de partículas massivas

interacção $\bar{\nu}_\mu e \rightarrow \bar{\nu}_\mu e$ por troca de bosão W

$$\bar{\nu}_\mu e \rightarrow \bar{\nu}_\mu e$$



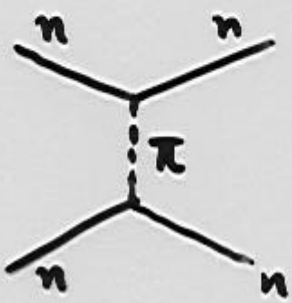
$$\Delta E_W > m_W c^2 \rightarrow \Delta T \leq \frac{h}{\Delta E} \leq \frac{h}{m_W c^2}$$

onde $R \leq \frac{h}{m_W c}$, processo de alcance curto (troca de partícula massiva)

. Alcance da interacção fraca :

$$m_W = 83 \text{ GeV} \rightarrow R \leq \frac{hc}{m_W c^2} = \frac{1.97 \cdot 10^{-17} \text{ Mev cm}}{83000 \text{ Mev}} = 2.3 \cdot 10^{-3} \text{ fm}$$

. Alcance da interacção forte : interacção nucleon-nucleon por troca de mesão π^-



$$R(\text{interacção forte}) \sim \frac{h}{m_\pi c} = 1.4 \text{ fm}$$

$$m_\pi = 140 \text{ MeV}$$

TEORIA DE YUKAWA :

| Relações entre o potencial da interacção e a |
massa da partícula intermediária |

a) Relação relativista : $E^2 = p^2 + m^2$ $\hbar = c = 1$

b) Operadores energia-impulsão em mecânica quântica :

$$E_{op} = i\hbar \frac{\partial}{\partial t} \quad p_{op} = -i\hbar \nabla = -i\hbar \frac{\partial}{\partial \vec{r}}$$

c) Função de onda da partícula livre (válida p/ partículas de spin 0)

Eq. de Klein-Gordon : $\nabla^2 \psi - m^2 \psi - \frac{\partial^2 \psi}{\partial t^2} = 0$

$(m=0 \rightarrow \nabla^2 \psi - \frac{\partial^2 \psi}{\partial t^2} = 0$, cf. à propagação
do campo eléctrom.)

d) Interpreta-se ψ como o potencial U :

- U independente de t : potencial estático

$$\nabla^2 U(r) = \frac{1}{r^2} \frac{\partial}{\partial r} \left(r^2 \frac{\partial U}{\partial r} \right) = m^2 U(r)$$

$$\Rightarrow \boxed{U(r) = \frac{g}{4\pi r} e^{-r/R}, \quad R = \frac{\hbar}{mc}}$$

g : constante de integração;
tem as características de uma carga.

INTERAÇÃO ELECTROMAGNÉTICA :

entre partículas com carga eléctrica

- quantum do campo electromagnético : fotão

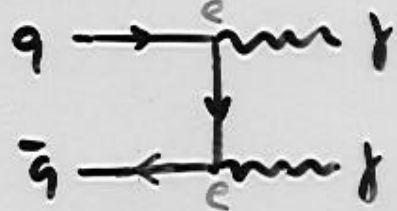
- exemplos de interacções :

$$e^+ e^- \rightarrow \mu^+ \mu^-$$



- exemplo de desintegração :

$$\pi^0 \rightarrow \gamma \gamma$$



$$\tau = 10^{-16} s$$

- medida adimensional da força da interacção elect. :

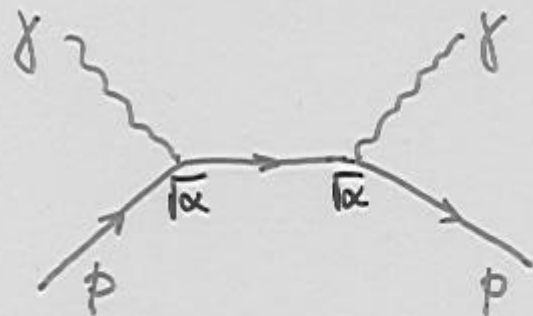
$$\alpha = \frac{\text{energia de repulsão electrostática entre elétrons afastados uma unidade}}{\text{energia em repouso do elétron}}$$

$$= \frac{1}{4\pi} \frac{e^2}{\hbar/mc} / mc^2 = \frac{e^2}{4\pi \hbar c} \approx \frac{1}{137}$$

α : constante de estrutura fina

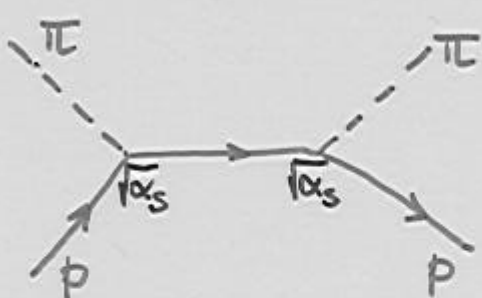
- teoria : Electrodinâmica Quântica (QED)

Thomson scattering



$$\sigma_{\text{Th}} = \frac{2}{3} \alpha^2 (4\pi R_p^2)$$

Difusão πp



$$\sigma(\pi p) = \alpha_s^2 (4\pi R_p^2)$$

Resultados experimentais $\Rightarrow \alpha_s \sim 1 - 10$

- difusão de Thomson:

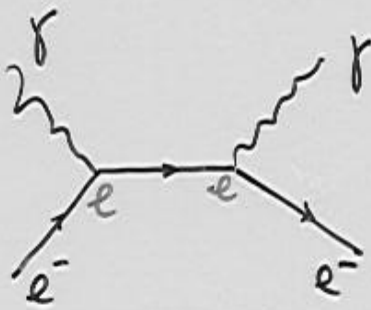
$$\gamma e^- \rightarrow \gamma e^-$$

Secção eficaz:

$$\sigma_{Th} = \frac{8\pi}{3} \left(\frac{\alpha}{m_e} \right)^2 =$$

$$= \frac{2}{3} \alpha^2 (4\pi R_e^2)$$

↑



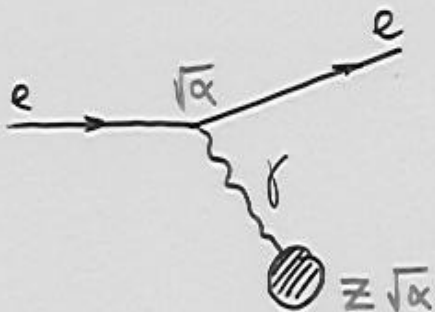
$$l \propto \sqrt{\alpha}$$

$$R_e = \frac{\hbar}{m_e c} = \frac{1}{\omega_e} \quad \rightarrow \text{comprimento de onda de Compton do elétron}$$

- difusão de Rutherford:



$$\frac{d\sigma_2}{d\Omega} = \frac{Z^2 \alpha^2}{4E^2} \frac{1}{\sin^4(\theta/2)}$$



|| Força da interacção \Leftrightarrow Probabilidade de uma carga emitir ou absorver um fóton

INTERAÇÃO FORTE

O problema Δ^{++} :

Δ^{++} , $J=\frac{3}{2}$ = três quarks u ($J=1/2$) no mesmo estado de spin

→ contradiz o princípio de exclusão de Pauli:

Solução: introduz-se um novo número quântico, a cor

→ os quarks podem ter três cores: Ξ, ∇, Λ

→ os antiquarks têm cores complementares: $\bar{\Xi}, \bar{\nabla}, \bar{\Lambda}$

dónde: $\Delta^{++} = \Xi \nabla \Lambda$

Postulado: todas as partículas observadas na natureza são "brancas" (ou invariantes sob rotações no espaço EVA)

. combinações brancas (sem cor):

$\Xi \nabla \Lambda$	báriões
$\Xi \bar{\Xi}, \nabla \bar{\nabla}, \Lambda \bar{\Lambda}$	mesões